

Starkniederschlagshöhen und -spenden gemäß KOSTRA-DWD-2010R

Auswertungszeitraum von 1951 - 2010, Januar - Dezember

Rasterfeld: 87018

Zeile: 87

Spalte: 18

Seite: 1/2

| Dauerstufe D | Wiederkehrzeit T | | | | | | | | | | | | | | | | | | |
|--------------|------------------|------|------------|------|------------|------|------------|------|------------|------|------------|-------|------------|-------|------------|-------|------------|-------|------------|
| | 1 a | | 2 a | | 3 a | | 5 a | | 10 a | | 20 a | | 30 a | | 50 a | | 100 a | | |
| min | Std | mm | l / (s ha) | mm | l / (s ha) | mm | l / (s ha) | mm | l / (s ha) | mm | l / (s ha) | mm | l / (s ha) | mm | l / (s ha) | mm | l / (s ha) | mm | l / (s ha) |
| 5 | | 6,3 | 210,0 | 8,6 | 286,7 | 9,9 | 330,0 | 11,6 | 386,7 | 13,9 | 463,3 | 16,2 | 540,0 | 17,5 | 583,3 | 19,2 | 640,0 | 21,5 | 716,7 |
| 10 | | 9,9 | 165,0 | 12,9 | 215,0 | 14,7 | 245,0 | 17,0 | 283,3 | 20,0 | 333,3 | 23,1 | 385,0 | 24,8 | 413,3 | 27,1 | 451,7 | 30,1 | 501,7 |
| 15 | | 12,2 | 135,6 | 15,8 | 175,6 | 17,9 | 198,9 | 20,6 | 228,9 | 24,2 | 268,9 | 27,7 | 307,8 | 29,9 | 332,2 | 32,5 | 361,1 | 36,1 | 401,1 |
| 20 | | 13,8 | 115,0 | 17,9 | 149,2 | 20,2 | 168,3 | 23,2 | 193,3 | 27,3 | 227,5 | 31,3 | 260,8 | 33,7 | 280,8 | 36,7 | 305,8 | 40,7 | 339,2 |
| 30 | | 15,9 | 88,3 | 20,7 | 115,0 | 23,5 | 130,6 | 27,0 | 150,0 | 31,8 | 176,7 | 36,6 | 203,3 | 39,4 | 218,9 | 42,9 | 238,3 | 47,7 | 265,0 |
| 45 | | 17,7 | 65,6 | 23,4 | 86,7 | 26,7 | 98,9 | 30,8 | 114,1 | 36,5 | 135,2 | 42,1 | 155,9 | 45,4 | 168,1 | 49,6 | 183,7 | 55,2 | 204,4 |
| 60 | | 18,8 | 52,2 | 25,2 | 70,0 | 28,9 | 80,3 | 33,5 | 93,1 | 39,9 | 110,8 | 46,3 | 128,6 | 50,0 | 138,9 | 54,6 | 151,7 | 61,0 | 169,4 |
| 90 | | 21,1 | 39,1 | 27,7 | 51,3 | 31,5 | 58,3 | 36,3 | 67,2 | 42,9 | 79,4 | 49,5 | 91,7 | 53,3 | 98,7 | 58,2 | 107,8 | 64,7 | 119,8 |
| 120 | 2 | 22,9 | 31,8 | 29,6 | 41,1 | 33,6 | 46,7 | 38,5 | 53,5 | 45,2 | 62,8 | 52,0 | 72,2 | 55,9 | 77,6 | 60,9 | 84,6 | 67,6 | 93,9 |
| 180 | 3 | 25,7 | 23,8 | 32,6 | 30,2 | 36,7 | 34,0 | 41,8 | 38,7 | 48,8 | 45,2 | 55,8 | 51,7 | 59,8 | 55,4 | 65,0 | 60,2 | 71,9 | 66,6 |
| 240 | 4 | 27,9 | 19,4 | 35,0 | 24,3 | 39,2 | 27,2 | 44,4 | 30,8 | 51,5 | 35,8 | 58,7 | 40,8 | 62,8 | 43,6 | 68,1 | 47,3 | 75,2 | 52,2 |
| 360 | 6 | 31,3 | 14,5 | 38,7 | 17,9 | 43,0 | 19,9 | 48,4 | 22,4 | 55,8 | 25,8 | 63,1 | 29,2 | 67,4 | 31,2 | 72,9 | 33,8 | 80,2 | 37,1 |
| 540 | 9 | 35,1 | 10,8 | 42,7 | 13,2 | 47,2 | 14,6 | 52,8 | 16,3 | 60,4 | 18,6 | 68,0 | 21,0 | 72,5 | 22,4 | 78,1 | 24,1 | 85,7 | 26,5 |
| 720 | 12 | 38,1 | 8,8 | 45,9 | 10,6 | 50,5 | 11,7 | 56,2 | 13,0 | 64,0 | 14,8 | 71,8 | 16,6 | 76,4 | 17,7 | 82,1 | 19,0 | 89,9 | 20,8 |
| 1080 | 18 | 42,8 | 6,6 | 50,8 | 7,8 | 55,5 | 8,6 | 61,5 | 9,5 | 69,6 | 10,7 | 77,6 | 12,0 | 82,3 | 12,7 | 88,3 | 13,6 | 96,4 | 14,9 |
| 1440 | 24 | 46,4 | 5,4 | 54,7 | 6,3 | 59,5 | 6,9 | 65,6 | 7,6 | 73,8 | 8,5 | 82,1 | 9,5 | 86,9 | 10,1 | 93,0 | 10,8 | 101,3 | 11,7 |
| 2880 | 48 | 53,0 | 3,1 | 64,1 | 3,7 | 70,6 | 4,1 | 78,7 | 4,6 | 89,8 | 5,2 | 100,9 | 5,8 | 107,3 | 6,2 | 115,5 | 6,7 | 126,6 | 7,3 |
| 4320 | 72 | 57,3 | 2,2 | 70,0 | 2,7 | 77,5 | 3,0 | 86,8 | 3,3 | 99,6 | 3,8 | 112,3 | 4,3 | 119,7 | 4,6 | 129,1 | 5,0 | 141,8 | 5,5 |

Angaben in mm: Bemessungsniederschlagswerte h(n)

Angaben in l / (s ha): Regenspende R(n) mit $R(n) = h(n) \times 1,666667 / D[\text{min}]$

Toleranzbereiche:

+/- 10 % für $1 \text{ a} \leq T \leq 5 \text{ a}$

+/- 15 % für $5 \text{ a} < T \leq 50 \text{ a}$

+/- 20 % für $50 \text{ a} < T \leq 100 \text{ a}$

Datenbasis: KOSTRA-DWD-2010R des Deutschen Wetterdienstes. Die Regenspende wurde auf Basis des Bemessungsniederschlags zur jeweiligen Andauer berechnet.

Für die Richtigkeit und Aktualität der Angaben wird keine Gewähr übernommen. Erstellt 07/2022.

Starkniederschlagshöhen und -spenden gemäß KOSTRA-DWD-2010R

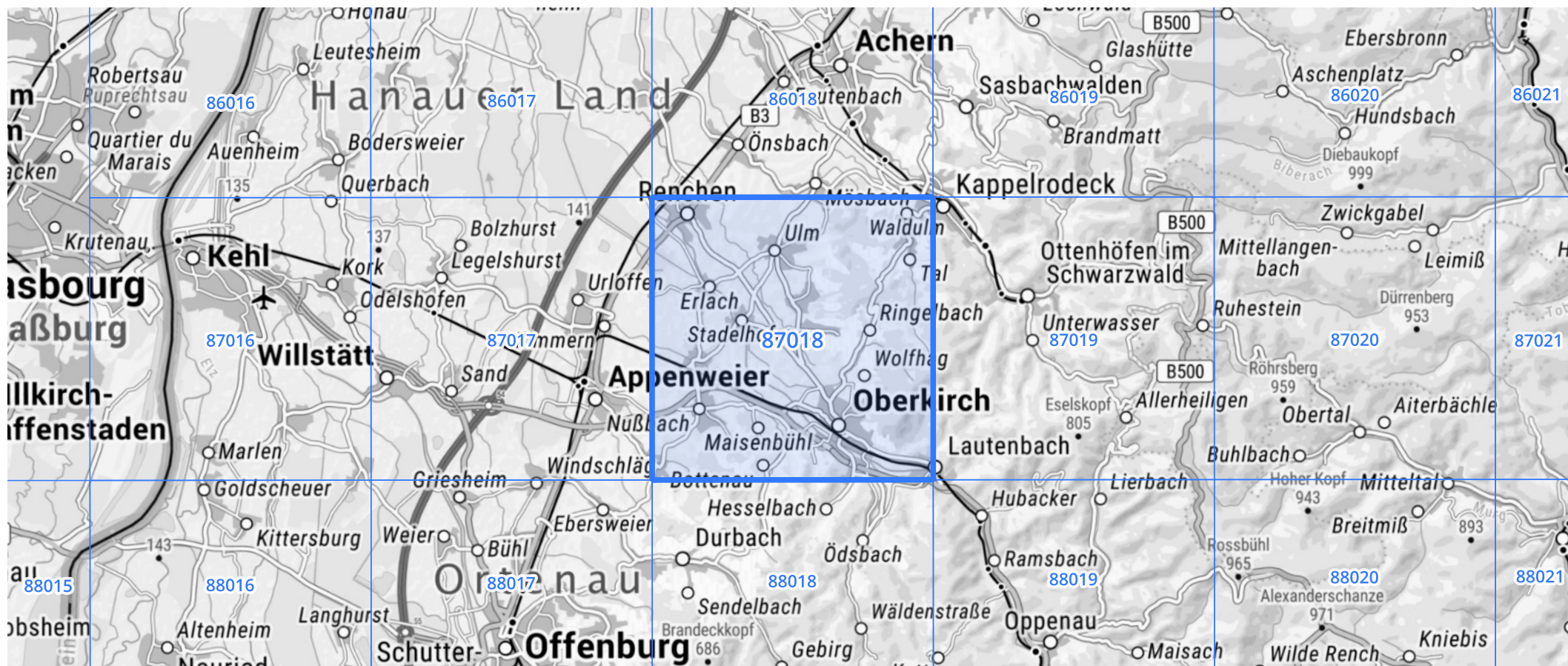
Auswertungszeitraum von 1951 - 2010, Januar - Dezember

Rasterfeld: 87018

Zeile: 87

Spalte: 18

Seite: 2/2



Quelle Rasterdaten: KOSTRA-DWD-2010R des Deutschen Wetterdienstes.

Kartendarstellung: © Bundesamt für Kartographie und Geodäsie (2022), Datenquellen: https://sgx.geodatenzentrum.de/web_public/gdz/datenquellen/Datenquellen_TopPlusOpen.html

Für die Richtigkeit und Aktualität der Angaben wird keine Gewähr übernommen. Erstellt 07/2022.